

大气近地面层中不同温度层结下的湍流运动*

濮培民

(北京大学地球物理系)

提 要

本文运用相似理论,在物理分析的基础上试图从统一的观点来讨论不同温度层结下的湍流运动。由强迫对流到自由对流的过渡趋势假定是连续的,对极端稳定层结时湍流运动的特点提出了看法。选取了符合物理分析所要求的通用函数的形式,设法确定了其中的参数的值,并进而建立了根据梯度观测资料计算湍流系数及各种湍流输送通量的公式及图表,并用不同资料进行了检验。

一、引 言

在近地面层中,大气与地面间动量、热量和水汽等物理量的湍流交换很强。大气中湍流运动的重要特点是,它不仅依赖于大气的平均的动力状态,而且与大气的平均的热力状态有实质性的联系。正确考虑温度层结对大气湍流运动的影响是极为重要的。很多作者^[1-9]从混合长随高度的变化与温度层结有关等假定出发,设法考虑了大气层结稳定度对湍流运动的影响。后来 Обухов^[10] 试图运用相似理论处理近地面层的物理机制问题,随后 Монин 等人^[11-13] 发展了这个理论。利用相似理论,对温度层结的中性、极端稳定和自由对流三个极端状态下的湍流运动特点,及风速和温度等廓线分布,可以作出定性的讨论。一些参数的值须要通过实验决定。近年来在直接测量湍流热量及动量通量方面作了不少工作^[17-21]。对自由对流时湍流交换的特点, Priestley^[14-16] 作了详细的讨论。正确地描述过渡状态层结下湍流运动的特点是很重要的。Казанский, Монин 等人^[10-13] 都讨论了这个问题。其主要缺点,首先是对稳定与不稳定状态下的湍流运动缺乏统一的讨论^[11-13],或者只对接近中性层结的状态进行讨论^[10]。其次在他们的工作中,由强迫对流到自由对流的过渡趋势是不连续的,而实际上是连续的^[20,22]。第三他们模式中的参数较多,有些参数取舍的任意性很大,用不同资料所得的值差别很大(见文献[11, 12, 20, 23])。

本文试图从一般物理意义由统一的观点来讨论稳定和不稳定状态下的湍流运动,指出了不同温度层结下湍流运动的特点。由强迫对流到自由对流的过渡趋势,以及由湍流运动到层流运动间的过渡都是连续的。文中用观测资料订出了模式中的参数的值,给出了根据梯度观测计算湍流交换系数、动量、热量和水汽等输送通量的公式及图表。

二、三种极端状态下的湍流运动,通用函数的确定

在我们所讨论的情况下,其平均状态是水平均匀和定常的。在近地面层中由于平均

* 本文 1963 年 2 月 7 日收到,同年 11 月收到修改稿。

风向随高度的偏轉可以忽略,故取平均风向为 x 軸,此外,忽略平均垂直运动, $\bar{W} = 0$ 。这样,风速、绝对温度和比湿等平均特点 (\bar{u} , \bar{T} , \bar{q}) 只与垂直高度 z 有关。

在湍流半經驗理論中,通常以湍流系数 K 表示湍流运动的特点,并把湍流动量通量 ($-\tau$), 热量通量 (P) 和比湿通量 (E) 分别写成¹⁾

$$-\tau = \overline{\rho u'W'} = -\bar{\rho}v_*^2, \quad P = C_p \overline{\rho T'W'} = -C_p \bar{\rho}\theta_*, \quad E = \overline{\rho q'W'} = -\bar{\rho}q_*, \quad (2.1)$$

其中

$$v_*^2 = K \frac{\partial \bar{u}}{\partial z}, \quad \theta_* = K \left(\frac{\partial \bar{T}}{\partial z} + \Gamma_p \right) = K \frac{\partial \bar{T}_1}{\partial z}, \quad \bar{T}_1 = \bar{T} + \Gamma_p z, \quad q_* = K \frac{\partial \bar{q}}{\partial z}, \quad (2.2)$$

Γ_p 称为平衡温度梯度。

在定常、水平均匀和 $\bar{W} = 0$ 的条件下,湍流能量平衡方程可写成²⁾:

$$\bar{\rho}T_r - \bar{\rho}G - \bar{\rho}D + A = 0, \quad (2.3)$$

其中 T_r 表示单位质量空气内平均运动动能与湍流运动动能間的轉換率, G 表示在湍流运动中,克服浮力作功而引起的单位质量空气内湍流动能与重力位能間的轉換率, D 表示由于分子粘性耗散动能而引起的单位质量空气内的湍流动能与内能間的轉換率, A 表示在以脉动速度作位移中所有脉动表面力的平均作功率。在我們的情形下有

$$T_r = -\frac{1}{\bar{\rho}} \overline{\rho u'W'} \frac{d\bar{u}}{dz} = K \left(\frac{d\bar{u}}{dz} \right)^2 = \frac{v_*^4}{K},$$

$$G = -\frac{g}{\bar{T}} \cdot \frac{1}{\bar{\rho}} \overline{\rho T'W'} = \frac{g}{\bar{T}} K \left(\frac{d\bar{T}_1}{dz} \right) = \frac{g}{\bar{T}} \theta_*. \quad (2.4)$$

这是与平均場有关的湍流运动特征量,其中 g 为重力加速度。 D 和 A 在很大程度上可认为是与平均場无直接关系的湍流运动特征量。这样,在研究近地面层湍流运动特点时,可取四个决定性参数: K , T_r , G 及 z , 或由 (2.4) 式可知 T_r 是 v_* 和 K 的函数,故亦可用 v_* 代替 T_r 。其中有长度及時間二个基本量綱。按 II 定理³⁾可組成二个独立的无量綱量,例如

$$\frac{K}{zv_*}, \quad Ri = \frac{K}{L''v_*} = \frac{g}{\bar{T}} \frac{d\bar{T}_1}{dz} \left/ \left(\frac{d\bar{u}}{dz} \right)^2 \right., \quad (2.5)$$

其中 Ri 即 Richardson 数, $L'' = v_*^3 \left/ \left(\frac{g}{\bar{T}} \theta_* \right) \right.$ 为具有长度量綱的参数。按相似理論,由 (2.5) 式决定之二无量綱量之間必存在某一函数关系,即有 $\frac{K}{zv_*} = f(Ri)$ 。重要的是决定通函数 $f(Ri)$ 的形式,这应借助于实验⁴⁾。由于实际观测上的困难及資料的可靠性,关于 $f(Ri)$ 还没有得到肯定的結果。我們將通过对极端不稳定,极端稳定和中性温度层結等三种极端状态下湍流系数随高度分布的特点,以及一般温度层結对湍流运动的影响的物理分析,給出通用函数的形式。然后再根据实际观测資料訂出其中的参数。

1) 参見 Лайхтмана Д. Л. и М. И. Юдина под ред., Основы динамической метеорологии (有中譯本) Л. 1955, гл. I, § 7. 其中假定动量、热量和水汽輸送的湍流系数是相同的。

2) 参見上书 гл. XIV, § 5, § 6.

3) 参見 Седов А. И., Методы подобия и размерности в механике, М. 1957, стр. 28.

4) 引言中提及的各种关于混合长的假說亦可归結为对通用函数的假說。事实上由 $v_*^2 = K \frac{d\bar{u}}{dz}$ 及 $K = l^2 \left| \frac{d\bar{u}}{dz} \right|$ 二式,并考虑 $\frac{K}{zv_*} = f(Ri)$ 可得 $l = \frac{K}{v_*} = zf(Ri)$ 。

为了方便起见,我们设

$$K/(\kappa v_* z) = Ri(X) / \left(\frac{4}{3} Ri_{\text{кр}} \cdot X \right) = \mathcal{K}(Ri) = \left[\frac{4}{3} X \cdot \Psi(X) \right]^{-1}, \quad (2.6)$$

其中引入与 Ri 数有密切关系的无量纲量 X , 且

$$X = z/L, \quad L = Ri_{\text{кр}} v_*^3 \left(\frac{3}{4} \kappa \cdot \frac{g}{T} \theta_* \right)^{-1}, \quad (2.7)$$

$$Ri = Ri_{\text{кр}} / \Psi(X), \quad (2.8)$$

其中 $Ri_{\text{кр}}$ 为临界的 Ri 数, κ 为 Karman 常数.

下面讨论通用函数 $\Psi(X)$ 在三种极端状态下应具备的特点:

(1) 当接近中性层结¹⁾时 $X \sim \theta_* \rightarrow \pm 0$. 实验证明在风洞及中性大气中 $K/(\kappa v_* z) = 1$. 故按 (2.6) 式

$$\Psi(X)|_{X \rightarrow \pm 0} = \left(\frac{4}{3} X \right)^{-1}. \quad (2.9)$$

(2) 当自由对流 $\theta_* < 0$, $v_* \rightarrow 0 (X \rightarrow -\infty)$ 时, 湍流运动完全决定于热力不稳定条件, K 与 v_* 无关, 故 (2.6) 式右边必须正比于 v_* , 因而必须有

$$1/\Psi(X)|_{X \rightarrow -\infty} \sim X|X|^{1/3}, \quad (2.10)$$

若取

$$A(X) = X^2 |\Psi(X)|^{3/2}, \quad (2.11)$$

则由 (2.10) 式可得

$$A(-\infty) = \text{常数}. \quad (2.11')$$

(3) 温度层结极端稳定时湍流系数分布特点还没有肯定的理论结果. 许多作者的公式对很强的逆温层结常是不适用的. 例如按 Будыко 公式得到的 K 值太小^[21], 按 Монин-Казанский 公式得到的值太大^[20]等. 目前关于通用函数的形式主要有二类: 第一类 $\mathcal{K}(Ri) = (1 - \sigma_1 Ri)^\alpha$, 第二类 $\mathcal{K}(Ri) = (1 + \sigma_2 Ri)^{-\beta}$, 或以 z/L 代替式中之 Ri 数. 其中 $\sigma_1, \sigma_2, \alpha$ 和 β 为正的常数, 这些形式在逆温很强时不适用的原因可能是由于:

(i) 当 Ri 愈大时第一类形式中 $Ri_{\text{кр}} = 1/\sigma_1$ 的影响愈大. 这种形式实际上假定了湍流运动与层流运动间的转变是突然的. $Ri_{\text{кр}}$ 是这一突变的严格界限, 公式对 $Ri > Ri_{\text{кр}}$ 是不适用的. $Ri_{\text{кр}}$ 很可能是与临界的 Reynolds 数一样, 是与地表特点等有关的量. 不同作者得到了不同的 $Ri_{\text{кр}}$ 值. 根据 Воронцов^[25] 和 Wanta^[26] 的结果, 似乎 $Ri_{\text{кр}}$ 是随高度增加的. 此外, 在实际大气中经常存在 $Ri > 1$ 的情形. 由湍流到层流连续地过渡时通用函数最好能保证湍流系数是流体的动力和热力状态的连续函数. 最好也不把 $Ri_{\text{кр}}$ 值看作在大 Ri 数时对湍流系数有决定性影响的参数.

(ii) 这二类形式中 α 和 β 是反映动力和热力作用相对关系的参数. 例如第二类形式中当 $\sigma_2 Ri \gg 1$ 时, $K/(\kappa v_* z) \sim [K/(v_* L'')]^{-\beta}$ 或 $K^{1+\beta} \sim \kappa z v_*^{1+\beta} \left(\frac{g}{T} \theta_* \right)^{-\beta}$. 若 β 值很小(大)则温度层结 (θ_*) 对湍流运动的影响也很小(大). 温度层结的作用在接近中性层结时是不显著的. 随 $|Ri|$ 的增加 θ_* 的影响要增加. 参数 β 和 α 很可能是变量. 事实上

1) 我们将称湍流热通量为零的温度层结为中性层结.

不同作者得到不同结果。例如 $\alpha = \frac{1}{4}^{[10]}$, $\frac{3}{5}^{[11]}$, $\frac{1}{2}^{[4,9]}$, $1^{[8]}$; $\beta = \frac{1}{2}^{[1,3]}$, $1^{[13]}$ 以及在代数—线性模式中的常数 $\beta_1 \sim \beta$ 随 $|Ri|$ 增大而增大^[23]。

根据以上分析,本文将采用另外的形式。其中 Ri_{kp} 不是 Ri 的极限,当 $Ri \gg Ri_{kp}$ 或 $X \rightarrow +\infty$ 时假定湍流系数只决定于温度层结 (θ_*) 的影响,而与动力影响 (v_*) 无关,亦即假定湍流系数的分布特点在极端稳定层结与极端不稳定层结时都是由温度分布起决定性作用,且由湍流到层流过渡及由强迫对流到自由对流过渡时,通用函数及其导数都是连续的。而在接近中性层结时,则风速切变的动力因子起决定性作用。当 $X \rightarrow +0$ 或 $X \rightarrow -0$ 时 $\Psi(X)$ 以相同的量级 $\frac{1}{X}$ (但其绝对值并不相等) 趋向于无穷大。在这样假定下,当 $X \rightarrow +\infty$ 时可得与 (2.10), (2.11') 式类似的关系式:

$$1/\Psi(X)|_{X \rightarrow +\infty} \sim X|X|^{1/3} = |X|^{4/3}, \quad (2.12)$$

及

$$A(+\infty) = \text{常数}. \quad (2.12')$$

(4) 按物理意义 (2.6) 式的左边为正数,故必成立:

$$X\Psi(X) > 0. \quad (2.13)$$

(5) 因不稳定层结有利于湍流运动的发展,稳定层结不利于湍流运动的发展,故在 v_* 及 θ_* 有相同的绝对值但 θ_* 的符号不同时,在高度 z 上 $K/(\kappa v_* z)$ 在 $X < 0$ 时要比 $X > 0$ 时大。即须成立

$$|\Psi(-|X|)|_{X < 0} < |\Psi(|X|)|_{X > 0}. \quad (2.14)$$

首先我们指出,满足 (1)—(5) 条件的函数的可能形式为

$$\Psi(X) = \Psi_1(X) + \Psi_2(X), \quad \Psi_1(X) = \frac{|X|}{X} [(1 + |X|)^{1/3} - 1]^{-1},$$

$$\Psi_2(X) = m_i [1 + |X|^{1/3}]^{-1}. \quad (2.15)$$

其中 m_i 为某一正数常数, $i = 1, 2$, 当 $X < 0$ 时 $i = 1$, 取 m_1 , $X > 0$ 时 $i = 2$, 取 m_2 , 且 $|\Psi_2(X)| < |\Psi_1(X)|$ 。

由于 $\Psi(X)|_{X < 0} = -|\Psi_1| + |\Psi_2|$, $\Psi(X)|_{X > 0} = |\Psi_1| + |\Psi_2|$, $m_1 \neq m_2$ 但 $\Psi(X)$ 的函数形式对 $X < 0$ 及 $X > 0$ 是类似的, $\Psi|_{X \rightarrow \pm 0} = \frac{3}{4} X$, $\Psi|_{X \rightarrow \pm \infty} \sim X|X|^{1/3}$; 故这个形式是考虑了 $X < 0$ 及 $X > 0$ 时层结对湍流运动的影响既有重大差别的一面 (G 的符号是相反的) 又有类似的一面 (随 $|Ri|$ 增加温度层结的影响相对动力影响要增加)。这是比较合理的。

下面讨论近地面层中气象要素垂直分布廓线的形式。在湍流属性输送通量不随高度改变的假定下,取边界条件 $z \rightarrow z_0$ (z_0 为地表粗糙度高度) 时, $\bar{u} \rightarrow 0$, $\bar{T}_1 \rightarrow \bar{T}_0$, $\bar{q} \rightarrow \bar{q}_0$ 。由 (2.1), (2.6), (2.15) 式可积分得

$$\bar{u}\kappa/v_* = (\bar{T}_1 - \bar{T}_0)\kappa v_*/\theta_* = (\bar{q} - \bar{q}_0)\kappa v_*/q_* = F(X) - F(X_0), \quad (2.16)$$

其中

$$F(X) = f(\xi) + \frac{|X|}{X} \varphi(\eta), \quad (2.17)$$

$$f(\xi) = 4 \int \frac{\xi^2 d\xi}{\xi^4 - 1} = \ln |(\xi - 1)/(\xi + 1)| + 2 \operatorname{arctg} \xi, \quad (2.18)^{1)}$$

$$\begin{aligned} \varphi(\eta) = 4m_i \int \frac{\eta^2 d\eta}{\eta^4 + 1} = m_i \left\{ \frac{\sqrt{2}}{2} \ln [(1 - \sqrt{2}\eta + \eta^2)/(1 + \sqrt{2}\eta + \eta^2)] + \right. \\ \left. + \sqrt{2} [\operatorname{arctg}(\sqrt{2}\eta - 1) + \operatorname{arctg}(\sqrt{2}\eta + 1)] \right\}, \quad (2.19)^{2)}$$

$$\xi = (1 + |X|)^{1/3}, \quad \eta = |X|^{1/3}, \quad X = z/L, \quad X_0 = z_0/L. \quad (2.20)$$

很容易証明, 在三种特殊层结状态下湍流系数及气象要素的分布廓綫将具有以下形式:

(1) 在接近中性层结或 $z \rightarrow 0$ 时, $X \rightarrow \pm 0$, 有

$$K|_{X \rightarrow \pm 0} = \kappa v_* z, \quad (2.21)$$

及

$$F(X) - F(X_0) = \ln(z/z_0). \quad (2.22)$$

(2.22) 式即公認的对数分布規律.

(2) 在自由对流时, $v_* \rightarrow 0, \theta_* < 0, X \rightarrow -\infty$

$$K|_{X \rightarrow -\infty} = \left(\frac{3}{4}\kappa\right)^{4/3} (g/Ri_{kp}\bar{T})^{1/3} [|\theta_*|^{1/3} z^{1/3}] / (1 - m_1), \quad (2.23)$$

及

$$F(X) - F(X_0) = [4(1 - m_1)/\kappa^{-1/3}] \left[\frac{3}{4} Ri_{kp} \cdot g/\bar{T}\right]^{-1/3} [v_*/|\theta_*|^{1/3}] [z_0^{-1/3} - z^{-1/3}]. \quad (2.24)$$

(2.24) 式即 $z^{-1/3}$ 分布規律, 这是与文献 [12, 14—16 及 27] 的結論相一致的.

(3) 在极端稳定时, $v_* \rightarrow 0, \theta_* \rightarrow 0, X \rightarrow +\infty$. 可得到与 (2.23), (2.24) 式类似的公式, 只是以 $(1 + m_2)$ 代替其中的 $(1 - m_1)$. 这是和許多作者的結論不同的.

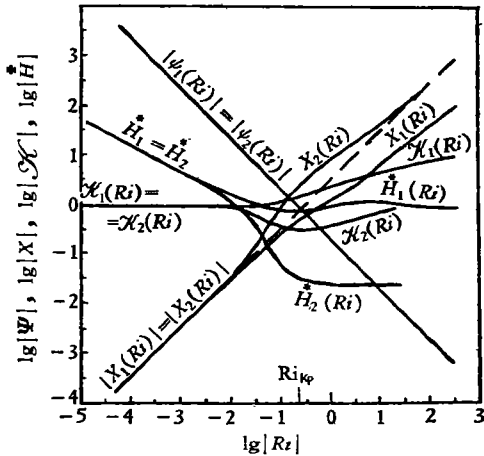


图1 无量綱通用函数 Ψ, X, K 及 H 与 Ri 数的关系.

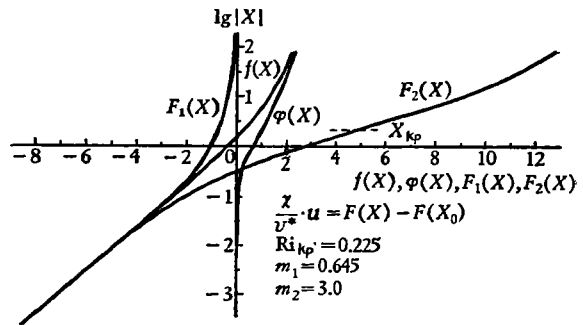


图2 函数 $f(X), \varphi(X), F_1(X), F_2(X)$ 的图形, $F(X)|_{X < 0} \equiv F_1, F(X)|_{X > 0} \equiv F_2$.

图1, 2 是函数 Ψ, X, K, H, F 的图形 (参見第三节). 其中以附标“1”和“2”分别表示不稳定和稳定层结时的函数. 由图1可知斜率 $\alpha = \frac{d(\lg K_2)}{d(\lg Ri)}$ 随 Ri 数改变. 若

1), 2) 参閱 Рыжик И. М., Таблицы интегралов, сумм, рядов и произведений, ОГИЗ, 1948, 17—19.

把 α 看成参变量则可积分得 $\mathcal{N}_2 \equiv K/(\kappa v_* z) = CRi^\alpha$, 当 $\lg Ri < -2$ 时 $\alpha \approx 0$, 得线性关系 $K \sim v_* z$, 当 $\lg Ri \approx -1.3$ 时 $\alpha = -\frac{1}{2}$, 这时得与文献 [1, 2] 类似的结果, 在 $Ri \approx Ri_{xp}$ 时 $\alpha \approx 0$, 这与中性层结时类似, 当 $Ri \gg Ri_{xp}$ 时 \mathcal{N}_2 与 \mathcal{N}_1 平行. 气象要素随高度的分布由图 2 中的 F_2 表示. 当 $\lg X < -1.8$ 时有对数分布, 随 $X \sim z$ 的增加 F_2 有负曲率, 在 $X_{xp} = X | Ri_{xp} = 2.4$ 附近又有对数分布, 当 $X \gg X_{xp}$ 时有正曲率, 与 F_1 类似. 上述特点可由实际风速廓线资料检验. 根据文献 [28] 的资料可得到 10 天平均风速廓线. 由图 3 可知, 在夜间逆温层内确实有上述分布特点存在. 在 $z, \lg z$ 坐标系中, 在 z 较小时有线性分布, 然后廓线曲率为负, 随后又有线性分布, 当 z 继续增大时有正曲率 (与不稳定层结时类似), 这在 03, 05 时的廓线上更为明显, 在这些高度上温度层结很稳定, Ri 数可达 10^0-10^1 . 再次出现对数分布的高度可称为 z_{xp} , 这里经常出现的 Ri 数可定义为 Ri_{xp} , 一般 $z_{xp} \sim 10-30$ 米. 有关夜间风速分布的资料¹⁾表明, 极端稳定层结下风速廓线的上述特点是普遍存在的, 这说明本文提出的形式能在更大的稳定度范围内描述风速廓线. 对不稳定层结亦有类似情形. 由此看来我们所作的假定是比较合理的.

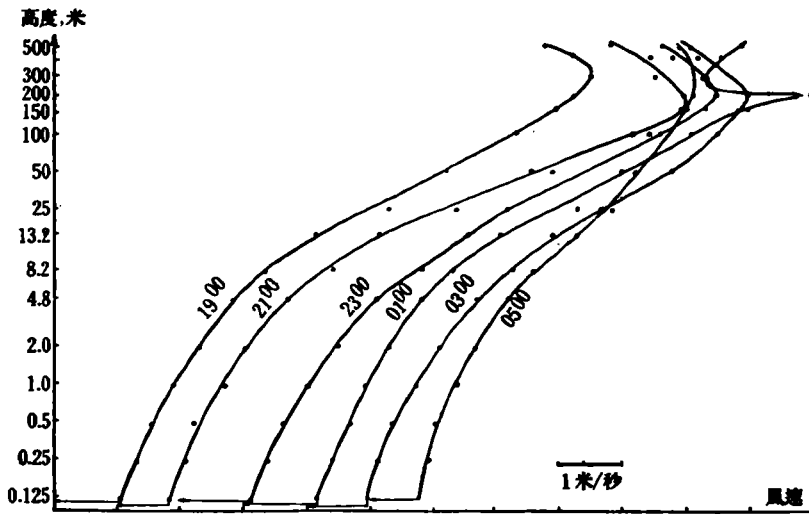


图 3 苏联 Махталли 考察^[28]的 10 天平均风速廓线.

三、参数的决定

在上面的公式中有四个待定的参数: κ , Ri_{xp} , m_1 和 m_2 . 其中 κ 在不可压缩流体及中性层结空气中的实验值为 0.40 (参见文献 [3]), Будыко 取 0.38, Лайхтман 取 0.40, Монин 等人取 0.43. 我们认为取 0.40 是比较合理的.

Ri_{xp} 的实验数据, 各个作者得到不同的值. 例如: $Ri_{xp} = 1, \frac{1}{4}^{[30]}, \frac{1}{24}^{[31]}$, Sutton^[3] 提

1) 例如: Letau H. H. and Davidson B., Exploring the atmosphere's first mile, Vol. II. 及 Gerhardt J. R., J. of the atm. Soc. N. 1, 19 (1962) 等.

出 Ri_{xp} 在光滑地面上要比在粗糙地面上更小些的看法。Holzman 及 Deacon^[3] 等整理大量资料后得到 $Ri_{xp} \approx \frac{1}{4} - \frac{1}{11}$, 平均上 $Ri_{xp} \approx 0.15$ 。根据文献 [25, 26] $Ri_{xp} \approx 0.2-0.3$ 。

由于在我们的公式中 Ri_{xp} 值不是 Ri 数的上限, 其意义为相当于 $z_{xp} \sim 10-30$ 米附近的平均的 Ri 数(参见第二节)。故我们可由观测资料直接求得。用文献 [28] 的资料求得 $Ri_{xp} = 0.255$ 。

为求得 m_1 和 m_2 可利用当 $X \rightarrow \pm \infty$ 时 $\Psi(X)$ 的特性。由 (2.6) 及 (2.11) 式可得

$$A = \left[\left(\frac{3}{4} \right)^2 Ri_{xp}^{-1/2} \right] [|Ri|^{1/4} \mathcal{K}(Ri)]^2 = \lambda/H^*, \quad (3.1)$$

其中

$$\lambda = \left(\frac{3}{4} \kappa \right)^2 Ri_{xp}^{-1/2}, \quad (3.2)$$

$$H^* = |\theta_*| (g/\bar{T})^{-1/2} |d\bar{T}_1/dz|^{-3/2} \cdot z^{-2}, \quad (3.3)$$

H^* 即为 Priestley^[14] 所引进的函数。

由 (2.11'), (2.12') 及 (2.15) 式可得

$$A(-\infty) = \lambda/H_{e,x}^* = |1 - m_1|^{3/2} = \text{常数}, \quad (3.4)$$

$$A(+\infty) = \lambda/H_{u,y}^* = |1 + m_2|^{3/2} = \text{常数}, \quad (3.5)$$

其中 $H_{e,x}^*$ 及 $H_{u,y}^*$ 可按 (3.3) 式计算, 为此须直接测量温度梯度及 $\theta_* = \frac{1}{\bar{\rho}} \overline{\rho T' W'}$ 。

Priestley^[14] 认为当 $Ri|_{x=1.5\kappa} \geq 0.02$ 时 $H_{e,x}^*$ 最可能的值为 0.81。Taylor^[19] 得到当 $Ri|_{x=1.5\kappa} \geq 0.02$ 时 $H_{e,x}^* = 0.79 \pm 0.04$ 。后来 Priestley^[15] 认为 $H_{e,x}^*$ 可取 0.08—1.0。Перепелкина^[20] 得到 $H_{e,x}^* \approx 0.70$, 这是偏低了。查看记录后我们发现有二组观测(9月7日及23日)热通量的观测很可能是偏低了, 观测值甚至远小于按中性层结公式计算的结果, 这是不合理的。我们取了 $H_{e,x}^* = 0.90$ 。

当取 $\kappa = 0.40$, $Ri_{xp} = 0.225$ 时 $\lambda = 0.1897$, $m_1 = 0.6456$, 近似地取 $m_1 = 0.645$, $m_1^{-1} = 1.55$ 。这时 $\gamma_{p,e,x} = |P| \cdot |\Delta T_1|^{-3/2} = 0.186$ 卡(厘米)⁻²分⁻¹度^{-3/2}(参见第四节)。

为了决定 m_2 , 我们没有现成的数据可取。利用文献 [20], 取极端稳定时 ($Ri \approx 0.4-0.8$) 的值 $\gamma_{p,u,y} \approx 2.55$, 又因 $\gamma_{p,e,x}/\gamma_{p,u,y} = [(1+m_2)/(1-m_1)]^{3/2}$ (参见 (4.13) 式)。由此可求得 $m_2 = 2.86$ 。近似地取了整数 $m_2 = 3$ 。

四、用梯度观测资料决定湍流输送通量和湍流系数的计算公式和计算方法

在确定了通用函数 $\Psi(X)$ 中的各参数后就可利用公式 (2.6) 及 (2.16) 计算湍流系数及输送通量。为此让我们取与 Ri 数类似的数 B_1 及 B_2 :

$$B_1 = \mu \cdot \Delta \bar{T}_1 (\bar{u}_H)^{-2}, \quad (4.1)$$

$$B_2 = \mu \cdot \Delta \bar{T}_1 (\Delta \bar{u})^{-2}, \quad (4.2)$$

其中

$$\begin{aligned} \mu(H) &= \left(\frac{4}{3} Ri_{\text{np}}\right)^{-1} (g/\bar{T})H, \quad \Delta\bar{T}_1 = \bar{T}_1(2H) - \bar{T}_1\left(\frac{H}{2}\right), \\ \Delta\bar{u} &= \bar{u}(2H) - \bar{u}\left(\frac{H}{2}\right), \quad \bar{u}_H = \bar{u}(H), \end{aligned} \quad (4.3)$$

并取

$$\Delta\bar{q} = \bar{q}(2H) - \bar{q}\left(\frac{H}{2}\right), \quad K_H = K(H), \quad L_1 = L/H, \quad \zeta = z/H, \quad \zeta_0 = z_0/H, \quad (4.4)$$

H 为某一高度(一般可取1米)。

$$\bar{u}_H \cdot \kappa/v_* = F(1/L_1) - F(\zeta_0/L_1), \quad (4.5)$$

$$\Delta\bar{u} \cdot \kappa/v_* = \Delta\bar{T}\kappa v_*/\theta_* = \Delta\bar{q} \cdot \kappa v_*/q_* = F(2/L_1) - F\left(\frac{1}{2}/L_1\right), \quad (4.6)$$

$$K_H = \kappa v_* H \mathcal{K}(1/L_1), \quad (4.7)$$

把(4.5)–(4.7)式代入(4.1), (4.2)式不难得到

$$B_1 = L_1^{-1} \left[F(2/L_1) - F\left(\frac{1}{2}/L_1\right) \right] [F(1/L_1) - F(\zeta_0/L_1)]^{-2}, \quad (4.1')$$

$$B_2 = L_1^{-1} \left[F(2/L_1) - F\left(\frac{1}{2}/L_1\right) \right]. \quad (4.2')$$

現在我們就能根据梯度观测資料(在用 B_1 时还必须知道地面粗糙度高度 z_0)决定 B_1 或 B_2 及 L_1 , 并进而决定湍流系数及湍流輸送通量。先討論如何用 B_2 值来决定这些量。

將(4.6), (4.7)式代入(2.1)式可求得 τ , P , E (或蒸发潛热释放 $\mathcal{L}E$, \mathcal{L} 为水分相变潛热):

$$\tau = \gamma_\tau (\Delta\bar{u})^2, \quad \gamma_\tau = \rho(\kappa L_1 B_2)^2 = \rho\gamma_v^2, \quad v_* = \gamma_v (\Delta\bar{u}) \quad (4.8)$$

$$P = -\gamma_P |\Delta\bar{T}_1|^{1/2} \Delta\bar{T}_1, \quad \gamma_P = \rho C_P \kappa^2 \mu^{1/2} L_1^2 |B_2|^{3/2}, \quad (4.9)$$

$$\mathcal{L}E = -\gamma_E |\Delta\bar{T}_1|^{1/2} \Delta\bar{e}, \quad \gamma_E = (0.623/P_0)(\mathcal{L}/C_P)\gamma_P, \quad (4.10)$$

$$K_H = \gamma_K \Delta\bar{u}, \quad \gamma_K = \kappa^2 H L_1 B_2 \mathcal{K}(1/L_1), \quad (4.11)$$

其中 $\Delta\bar{e} = e(2H) - e(H/2)$, 为水汽压之差。

我們注意到, 除 γ_τ 以外, γ_P , γ_E , γ_K 均与 H 有关。且

$$\gamma_P, \gamma_E \sim \sqrt{H}, \quad \gamma_K \sim H. \quad (4.12)$$

由(4.9)–(4.11)可知, 当 $\Delta\bar{T}_1$ 及 $\Delta\bar{u}$ 决定后 τ , P , γ_E 及 K_H 就决定了。可預先对一定間隔的 $\Delta\bar{T}_1$, $\Delta\bar{u}$ 值求出这些值, 这样計算就很簡便。图4是 γ_τ , γ_P , γ_E 及 γ_K 与 B_2 的关系图。計算时所取的常数是: $\kappa = 0.40$, $Ri_{\text{np}} = 0.225$, $m_1 = 0.645$, $m_2 = 3$, $g = 9.8$ 米·秒⁻², $\bar{T} = 288^\circ\text{A}$, $P_0 = 1013$ 毫巴, $\rho = 0.00129$ 克·厘米⁻³, $C_P = 0.243$ 卡克⁻¹度⁻¹, $\mathcal{L} = 586$ 卡克⁻¹, $H = 1$ 米, $\Delta\bar{u}$ 用米·秒⁻¹, $\Delta\bar{T}_1$ 用度, $\Delta\bar{e}$ 用毫巴計算。所得的 τ 用达因·厘米⁻²; P , $\mathcal{L}E$ 用卡·厘米⁻²·分⁻¹, K_H 用米²秒⁻¹計算。

考虑(2.22), (2.24)式可得在接近中性层結时有:

$$\begin{aligned} \lg(B_2 L_1) &= -\lg(\ln 4), \quad P = -0.1562 \cdot \Delta\bar{u} \cdot \Delta\bar{T}_1, \quad \mathcal{L}E = -0.2317 \cdot \Delta\bar{u} \cdot \Delta\bar{e}, \\ \gamma_\tau &= 0.0311, \quad \gamma_K = 0.1154, \end{aligned} \quad (4.13)$$

在极端不穩定层結(с.к)及极端稳定层結(п.у)时 γ_P , γ_E , γ_K 等趋向与 $\Delta\bar{T}_1$, $\Delta\bar{u}$ 无关

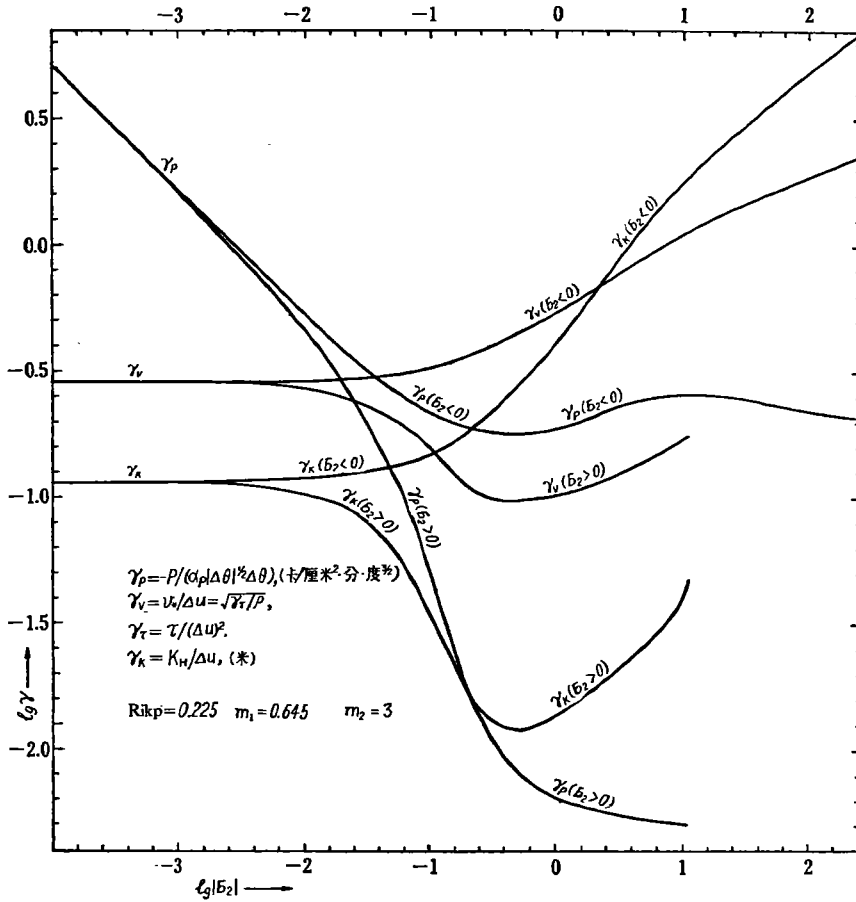


图 4

的常数,例如有

$$\gamma_{p,c,k} / \gamma_{p,u,y} = [(1 + m_2) / (1 - m_1)]^{3/2}, \tag{4.14}$$

此即在第三节中决定 m_2 时所用的关系式。

通过 B_1 计算 τ , P , $\mathcal{L}E$ 及 K_H 的方法是类似的。首先须按 (4.1') 式作出 L_1 与 B_1 及 ζ_0 的函数关系图, 以便于根据 B_1 及 ζ_0 决定 L_1 。以下讨论可把 L_1 当作已知量。由 (4.6), (4.7) 及 (4.1') 式很容易得到:

$$\tau = \gamma'_\tau (\Delta \bar{u})^2, \quad \gamma'_\tau = \rho \kappa^2 \mu |L_1| \cdot \left| F(2/L_1) - F\left(\frac{1}{2}/L_1\right) \right|^{-1}, \tag{4.15}$$

$$P = -\gamma'_p |\Delta \bar{T}_1|^{1/2} \cdot \Delta \bar{T}_1, \quad \gamma'_p = \rho C_p \kappa^2 \mu^{1/2} |L_1|^{1/2} \cdot \left| F(2/L_1) - F\left(\frac{1}{2}/L_1\right) \right|^{-3/2}, \tag{4.16}$$

$$\mathcal{L}E = -\gamma'_E |\Delta \bar{T}_1|^{1/2} \cdot \Delta \bar{e}, \quad \gamma'_E = (0.623/P_0) \cdot (\mathcal{L}/C_p) \cdot \gamma'_p, \tag{4.17}$$

$$K_H = \gamma'_k |\Delta \bar{T}_1|^{1/2}, \quad \gamma'_k = \kappa^2 H \mu^{1/2} |L_1|^{1/2} \cdot \left| F(2/L_1) - F\left(\frac{1}{2}/L_1\right) \right|^{1/2}. \tag{4.18}$$

根据梯度观测资料决定湍流系数及输送通量的具体计算方法步骤可简述如下 [以已知在 2 米及 0.5 米高度上 ($H = 1$ 米) 的 \bar{u} , \bar{T}_1 和 \bar{e} 的观测值为例]:

(1) 计算 $\Delta\bar{u}$, $\Delta\bar{T}_1$ 及 $\Delta\bar{e}$, 按 $\Delta\bar{u}$ 及 $\Delta\bar{T}_1$ 决定 $\lg|B_2|$.

(2) 由图 4 按 $\lg|B_2|$ 决定 γ_v , γ_P , γ_E 及 γ_K 的对数值。这时须注意 $\Delta\bar{T}_1 > 0$ 或 $\Delta\bar{T}_1 < 0$ 的差别。若 $H \neq 1$ 米时则在 $\lg\gamma_P$ 及 $\lg\gamma_E$ 上要加 $\frac{1}{2}\lg H$, 在 $\lg\gamma_K$ 上要加 $\lg H$ [参见 (4.12) 式]。

(3) 按由 (4.8) — (4.11) 式取对数而得的公式算出 $\lg v_*$, $\lg|P|$, $\lg|\mathcal{L}E|$ 及 $\lg K_H$ 并进而求出 τ , P , $\mathcal{L}E$ 及 K_H 。 P , $\mathcal{L}E$ 的符号与 $\Delta\bar{T}_1$ 及 $\Delta\bar{e}$ 的符号相反。

五、计算结果的分析比较

利用苏联大气物理研究所^[20]的梯度观测资料,按本文方法计算了热通量 (\bar{P}),其结果与实测值 ($P_{\text{测}}$) 的比较见图 5。由图 5 可见除了有二组记录 (9 月 7 日及 23 日,上面已指出这两组记录是可疑的) 计算值与实测值的偏离较大外,其他情况线性相关是较好的,且 $P_{\text{测}}/\bar{P} \approx 1$ 。把按本文方法计算结果 (\bar{P}) 及按 Казанский-Монин 方法计算结果 ($P_{\text{К-М}}$) 与观测值 ($P_{\text{测}}$) 相比发现对稳定层结,在 12 次记录中除 1 次外,其他 11 次 \bar{P} 比 $P_{\text{К-М}}$ 更接近 $P_{\text{测}}$ 。在不稳定情况下 73 次记录中 \bar{P} 与 $P_{\text{К-М}}$ 基本相同者占 10 次, \bar{P} 较好者有 38 次,其余 15 次 $P_{\text{К-М}}$ 更接近 $P_{\text{测}}$ 。

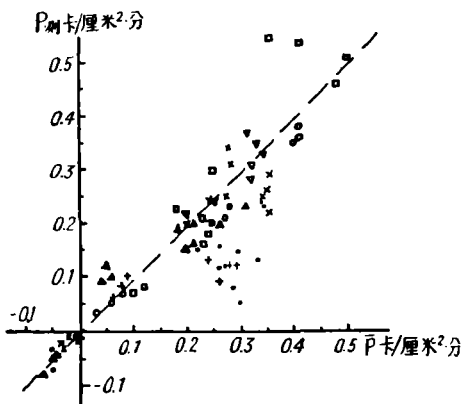


图 5

$P_{\text{测}}$ ——苏联大气物理研究所^[20]湍流热通量脉动观测值。 \bar{P} ——按本文方法计算得的湍流热通量。

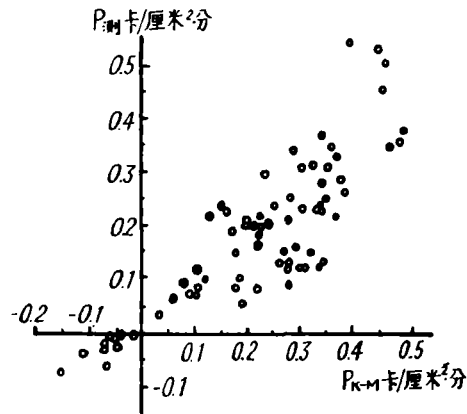


图 6

$P_{\text{测}}$ ——同图 5 说明, $P_{\text{К-М}}$ ——按 Казанский-Монин 方法计算得的湍流热通量。

我们也利用苏联 Махталин 考察^[28]记录进行计算。由于用一般水银温度计及用电阻温度计测得的温度梯度有差别,故采用取平均值及舍去其差别大于 2°C 的情形以减少观测误差。结果的比较见图 7。计算值似乎比实测值要小些 $P_{\text{测}}/\bar{P} \approx 1.075$ 。图 7 中 $P < 0$ 的坐标比 $P > 0$ 时放大了 10 倍。考虑到资料精确度的限制(不同观测方法测得的梯度值常相差较大)这个结果还是比较满意的。

图 8 是用不同方法求得的湍流热量输送通量 P 的日变化(考察期间的平均值)。图 8

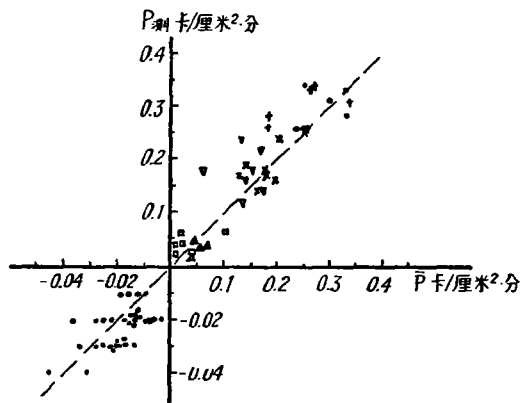


图 7

$P_{\text{观}}$ ——苏联 Махталин 考察^[20]湍流热通量观测值。 \bar{P} ——同图 5 说明。

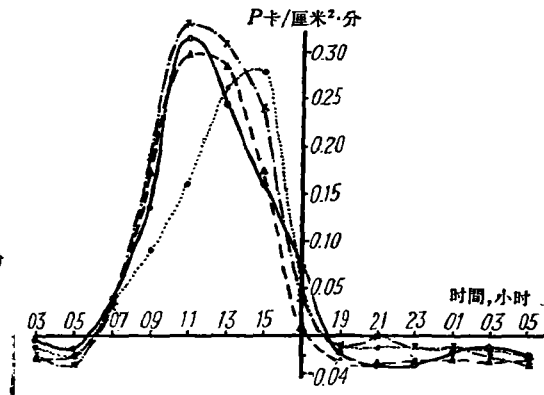


图 8 湍流热通量 P 的日变化

(--- 为脉动观测值, — 为热平衡法计算值, 为 Лайхтман 方法计算值, — 为本文提出方法计算值)

表 1

附 注	苏联大气物理研究所 $P > 0$							$P < 0$	
	1	2	3	4	5	6	7	8	
序 号	1.79	1.14	1.16	1.08	0.99	1.86	0.96	1.19	
$\bar{P}/P_{\text{观}}$	1.93	1.20	1.32	1.10	1.08	2.22	0.93	1.55	
$P_{\text{к-м}}/P_{\text{观}}$	2.09	1.99	1.32	1.26	2.72	4.02	1.17	—	
$P_{\text{б}}/P_{\text{观}}$	—	—	—	—	—	—	—	—	
$P_{\text{л}}/P_{\text{观}}$	—	—	—	—	—	—	—	—	
$P_{\text{в}}/P_{\text{观}}$									
附 注	苏联地球物理现象总台							整个考察记录平均	
	9	10	11	12	13	14	15	16	17
序 号	0.78	0.98	0.87	0.95	0.96	0.98	1.05	1.01	0.79
$\bar{P}/P_{\text{观}}$	—	—	—	—	—	—	—	—	—
$P_{\text{к-м}}/P_{\text{观}}$	2.79	2.19	2.04	1.98	1.97	2.18	—	—	—
$P_{\text{б}}/P_{\text{观}}$	—	—	—	—	—	—	0.93	0.88	0.72
$P_{\text{л}}/P_{\text{观}}$	—	—	—	—	—	—	1.28	1.18	0.72
$P_{\text{в}}/P_{\text{观}}$									

注: $P_{\text{观}}$ ——湍流热通量观测值, \bar{P} ——按本文方法计算值, $P_{\text{к-м}}$ ——按 Казанский-Монин 方法计算值, $P_{\text{б}}$ ——按 Будыко 方法计算值¹⁾, $P_{\text{л}}$ ——按 Лайхтман 方法计算值, $P_{\text{в}}$ ——按热平衡法计算值。

表明本文方法计算值与实测值及地表热平衡法计算值都比较接近。

利用上述资料将各种方法进行比较(见表 1), 我们发现本文方法给出的值比较接近观测值。

由图 1 可知我们的公式能表示温度层结对湍流运动的影响。 H 由强迫对流到自由对流的过渡趋势是连续的, 这与 Перепелкина^[20] 的观测结果是符合的。有趣的是当 $|Ri| >$

1) 此值部分计算工作由郑祖光同志完成。

> 0.2 时 H^* 有增加的趋势, 这与 Taylor^[19] 分析得的结果一致. 理论曲线 $\mathcal{K}(Ri)$ 与 Гурвич^[21] 的观测值亦是很符合的(见图 9). 另外我们按 $\lg \gamma_P$ 与 $\lg \tilde{\gamma}_P$ (不考虑温度层结对湍流运动的影响时有 $\tilde{\gamma}_P = |\bar{P}| \cdot |\Delta \bar{T}_1|^{-3/2}$) 可算出 $\bar{P}/\tilde{P} = \gamma_P/\tilde{\gamma}_P = f_1(Ri)$ 的理论廓线(图 10). 与 Перепелкина 根据观测记录得到的经验值相比若取 $\kappa = 0.40$ 时几乎完全是重合的(图 10 上的圆点). 这又一次说明, 一方面取 $\kappa = 0.40$ 是较合理的, 另一方面也说明我们的公式是较合理的.

我们也将文献[20](除去 9 月 7 日及 23 日二组记录)及[28]的 $|P_{\#}| \cdot |\Delta \bar{T}_1|^{-3/2}$ 值与理论曲线进行比较(见图 11、12). 结果是基本符合的.

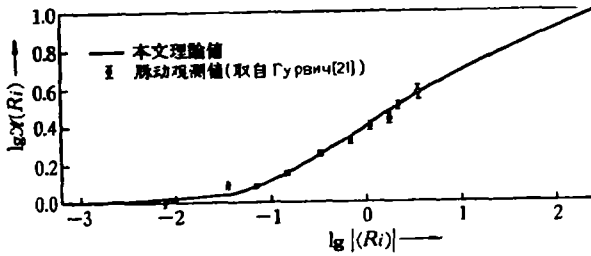


图 9

由图 1 上 H^* 的分布可知 $Ri_{0,\kappa} = 0.035$, 这与 Priestley 及 Taylor 等人的结果一致. 当 $Ri \geq 0.01$ 时 $H^*/H_p \geq 1.03$ (H_p 为不考虑温度层结影响的值), 即可认为这时自由对

与理论曲线进行比较(见图 11、12). 结果是基本符合的.

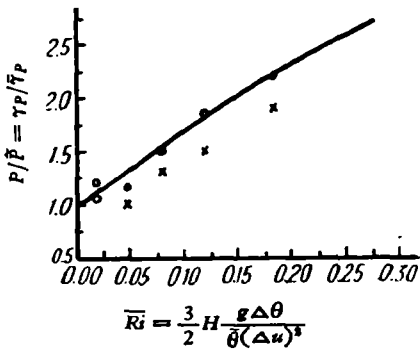


图 10

(观测资料取自文献[20], x 号 $\kappa = 0.43$, o 号 $\kappa = 0.40$, - 为本文的理论廓线)

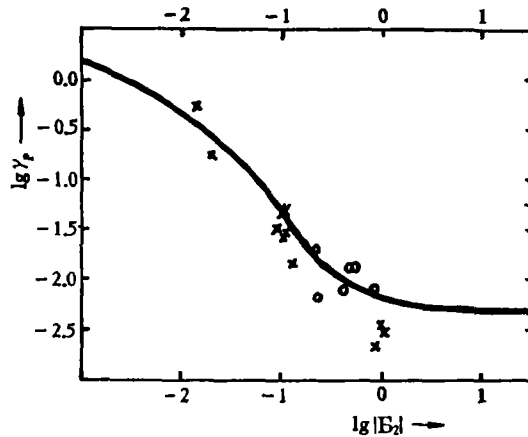


图 11

(o 号资料系取自文献[28], x 号取自文献[20], - 为本文理论值)

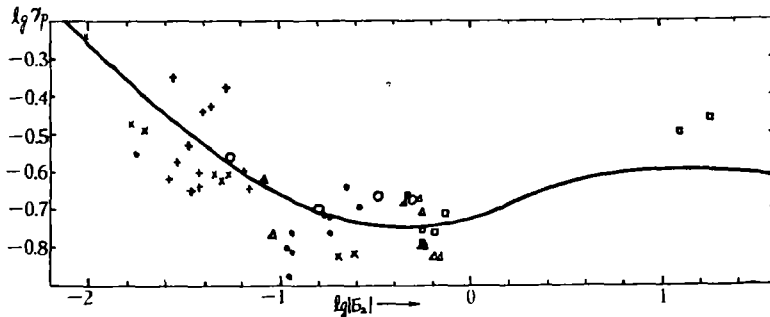


图 12

(o 号资料取自文献[28], - 为本文理论曲线, 其它资料取自文献[20])

流已起一定作用了,这与 Priestley 认为 $Ri \geq 0.011$ 即开始自由对流的結果是一致的。

图 13 是理論曲綫与观測結果^[10]的比較,本文分布曲綫(实綫)与观測結果基本符合。

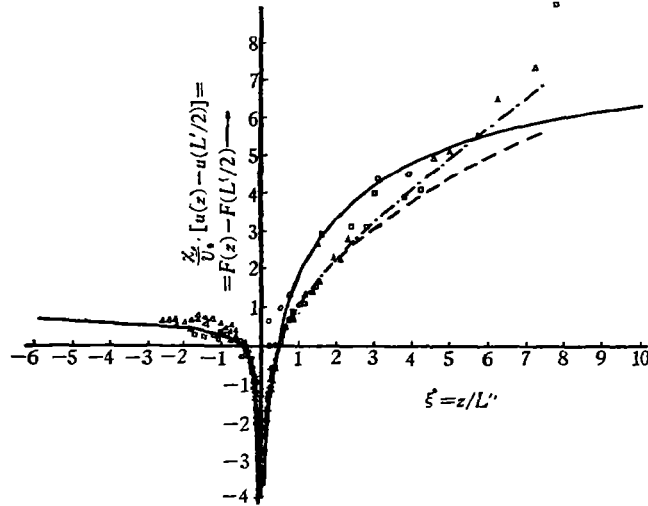


图 13

(观測資料取自文献^[10], --- 按 Монин-Обухов, --- 按苏从先, — 系本文分布曲綫)

曾与 Panofsky 等人^[29]整理的好几組观測資料所得的經驗值作比較(图 14), 图中点虛綫为按 Ellison 方程 $S^4 + S^3\gamma^*/L^* = 1$ 計算得的, 虛綫及点綫为按对数綫性模式 $S = 1 + \beta_1 z/L'$, $\beta_1 = 0.6$ 及 $\beta_1 = 4.5$ 計算得的, 实綫为本文曲綫。其中

$$S = \kappa z v_*^{-1} \left(\frac{d\bar{u}}{dz} \right)^{-1} = [\mathcal{K}(X)]^{-1}, \quad L^* = v_*^3 \bar{T} (\kappa g)^{-1} \left(\frac{d\bar{u}}{dz} \right) \left(\frac{d\bar{T}_1}{dz} \right)^{-1},$$

$$\gamma^* z/L^* = -5.4X, \quad L' = v_*^3 \left(\kappa \frac{g}{\bar{T}} \theta_* \right)^{-1}.$$

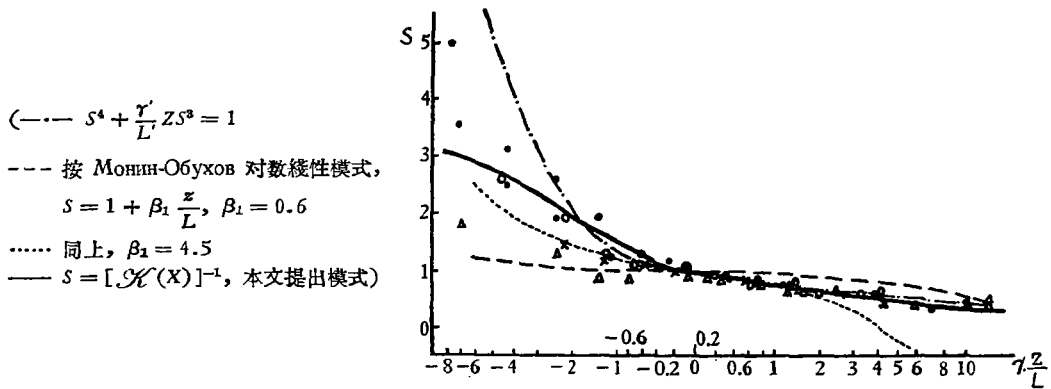


图 14

图 14 表明本文的公式在所有情况下都与观測值有較好的符合。

以上結果說明, 本文提出的关于大气近地面层中不同温度层結下湍流运动特点的公式是可取的, 而所提出的利用梯度观測資料計算湍流系数及各种湍流輸送通量的方法可以实际应用。

致謝: 陈家宜同志, 楊大升先生和严开伟先生曾先后对本文初稿提出了寶貴意見, 特此致謝。

参 考 文 献

- [1] Rossby, C.-G., Montgomery, R. B., *Papers in Physic. oceanogr. and meteor.*, **3** (1935).
- [2] Sverdrup, H. U., *Geophys. Pub. Pub.*, **11** (1936), 1—69.
- [3] Sutton, O. G., *Micrometeorology*, London, 1953.
- [4] Будыко М. И., Испарение в естественных условиях (有中譯本), Л., 1948.
- [5] Thornthwite, C. W. and Kaser, P., *Tras. Am. Geophys. Union.* 1, 166, 1943.
- [6] Deacon, E. L., *Quart. J. Roy. Meteor. Soc.*, **75** (1949), 89—103.
- [7] Лайхтман Д. Л., *Изв. АН СССР сер. геогр. и геофиз.*, **8** (1944), 1—5.
- [8] Тимофеев М. П., *Тр. ГГО*, **27** (89), 1951.
- [9] Константинов А. Р., *Тр. ГГИ*, **48** (102), 1955, 22—37.
- [10] Обухов А. М., *Тр. ин-та теорет. геофиз.*, **1** (1946).
- [11] Казанский А. С. и Монин А. С., *Изв. АН СССР сер. геофиз.* № 1, 1956, 79—86.
- [12] Казанский А. С. и Монин А. С., *Изв. АН СССР сер. геофиз.* № 6, 1958, 741—751.
- [13] 苏从先, *气象学报*, **29** (1958), 73—82.
- [14] Priestley, C. H. B., *Quart. J. Roy. Meteor. Soc.*, **81** (1955), 139—143.
- [15] Priestley, C. H. B., *Proc. Roy. Soc. London*, **A238** (1957), 287—304.
- [16] Priestley, C. H. B., *Quart. J. Roy. Meteor. Soc.*, **86** (1960), 232—236.
- [17] Rider, *Phil. Trans. Roy. Soc. A.* **246** (1954), 481—501.
- [18] Swinbank, W. C., *Div. Meteor. phys. Techn. pap.*, No. 2, 1955.
- [19] Taylor, R. J., *Quart. J. Roy. Meteor. Soc.*, **82** (1956), 89—91.
- [20] Перепелкина А. В., *Изв. АН СССР, сер. геофиз.*, № 7, 1959, 1026—1035.
- [21] Гурвич А. С., *Изв. АН СССР, сер. геофиз.*, № 3, 1961, 458—466.
- [22] Гурвич А. С., *Изв. АН СССР, сер. геофиз.*, № 11, 1961, 1706—1707.
- [23] Taylor, R. J., *Quart. J. Roy. Meteor. Soc.*, **86** (1960), 67—78.
- [24] Щербакова Л. Ф., *Тр. ГГО*, **16** (78), 1949, 102—105.
- [25] Воронцов П. А., *Аэрологические исследования пограничного слоя атмосферы*, Л. 1960, 143—144.
- [26] Wanta, R. S., *Quart. J. Roy. Meteor. Soc.*, **79** (1953), 398—401.
- [27] Лайхтман Д. Л., *Физика пограничного слоя атмосферы*, Л. 1961, 60—61.
- [28] Лайхтмана Д. Л. Под ред. *Тр. ГГО*, **107**, 1961, 180—199.
- [29] Panofsky, H. A., Blackadar, A. K. and McVehil, G. E. *Quart. J. Roy. Meteor. Soc.*, **86** (1960), 390—398.
- [30] Taylor, G. I., *Proc. Roy. Soc.*, **A 132** (1931), 499—523.
- [31] Schlichting, H. Z., *angen. Math. u. Mech.*, **15** (1935), 315.
- [32] Calder, K. L., *Quart. J. Roy. Meteor. Soc.*, **75** (1949), 71—88.

ТУРБУЛЕНТНОСТЬ В ПРИЗЕМНОМ СЛОЕ АТМОСФЕРЫ ПРИ РАЗЛИЧНОЙ СТРАТИФИКАЦИИ

Пу Пэй-минь

(Геофизический факультет Пикинского университета)

Резюме

На основе подробного физического анализа при помощи теории размерности в данной статье делается попытка вообще обсуждать некоторые особенности турбулентности при различной стратификации. Тенденция перехода из состояния вынужденной конвенции в состояние свободной конвенции предлагается непрерывной. В случае предельной устойчивости выдвинуто предложение о независимости турбулентного состояния от динамического фактора. Выведена безразмерная универсальная функция, удовлетворяющая требованиям физического анализа. По данным наблюдений определены численные значения входящих в функцию параметров. Даны методы определения коэффициента турбулентности и потоков тепла, влаги и количества движения по данным градиентных наблюдений и способ практического применения предложенного нами метода. Предложенные в статье формулы испытаны на материалах наблюдений различных источников.